
ANTENNS THEORY AND DESIGN

5

()

Contents



❖ 5.1

❖ 5.2

❖ 5.3

❖ 5.4 -

❖ 5.5

❖ 5.6

❖ 5.7

❖ 5.8

- ❖ : wire antenna
 - 가 가
 - ,가 , 가
 - 0
 - 가
 - () 10
 - : ,
 - ▶
 - ▶ V
 - ▶
 - ▶ -
 - ▶
- ❖ : patch
 - 가0
 - ▶
- ❖ ,

5.1

- ❖
 -
 - 가
 - : 가



: 가

$$I(z) = I_m \sin \left[\beta \left(\frac{L}{2} - |z| \right) \right], \quad |z| < \frac{L}{2} \quad (5-1)$$

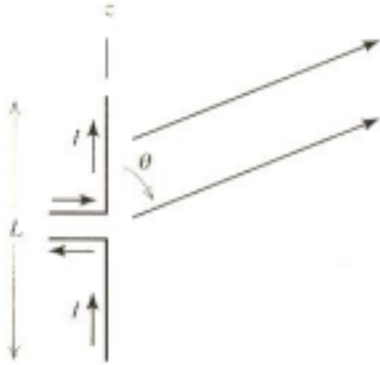


그림 5-1 다이폴 안테나

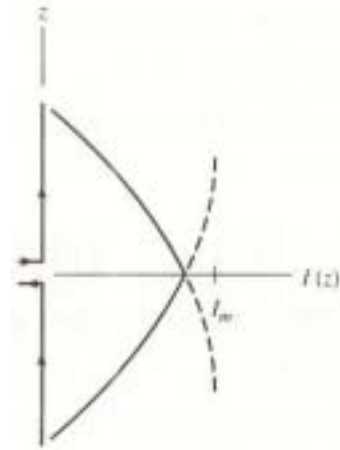


그림 5-2 $L < \lambda/2$ 길이의 다이폴에서의 전류분포



$$f_{un} = \int_{-L/2}^{L/2} I(z') e^{j\beta z' \cos \theta} dz' \quad (5-2)$$

(5-1)

$$f_{un} = \int_{-L/2}^0 I_m \sin \left[\beta \left(\frac{L}{2} + z' \right) \right] e^{j\beta z' \cos \theta} dz' \quad (5-3)$$

$$+ \int_0^{L/2} I_m \sin \left[\beta \left(\frac{L}{2} - z' \right) \right] e^{j\beta z' \cos \theta} dz'$$



$$f_{un} = \frac{2I_m}{\beta} \frac{\cos[(\beta L / 2) \cos \theta] - \cos(\beta L / 2)}{\sin^2 \theta} \quad (5-4)$$

➤ (4-1)

$$E_{\theta} = j\omega\mu \sin \theta \frac{e^{-j\beta r}}{4\pi r} \frac{2I_m}{\beta} \frac{\cos [(\beta L / 2)\cos \theta] - \cos (\beta L / 2)}{\sin^2 \theta} \quad (5-5)$$

➤ $\omega\mu / \beta = \eta$

$$E_{\theta} = j\mu \frac{e^{-j\beta r}}{2\pi r} I_m \frac{\cos [(\beta L / 2)\cos \theta] - \cos (\beta L / 2)}{\sin \theta} \quad (5-6)$$

➤ θ

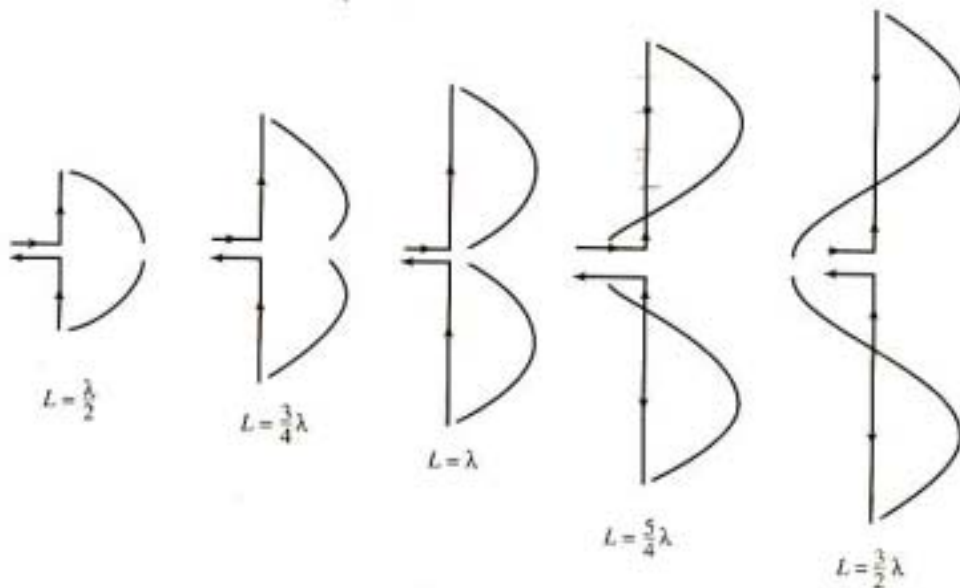


그림 5-3 다양한 중앙급전 다이폴에 대한 전류분포. 화살표는 최대전류조건에서의 상대적인 방향을 나타낸다.

□ (half-wave dipole)
 ▶ 78°

□ (full-wave dipole)
 ▶ 47°

□ L/λ 가
 (5-6)
 $\sin \theta$

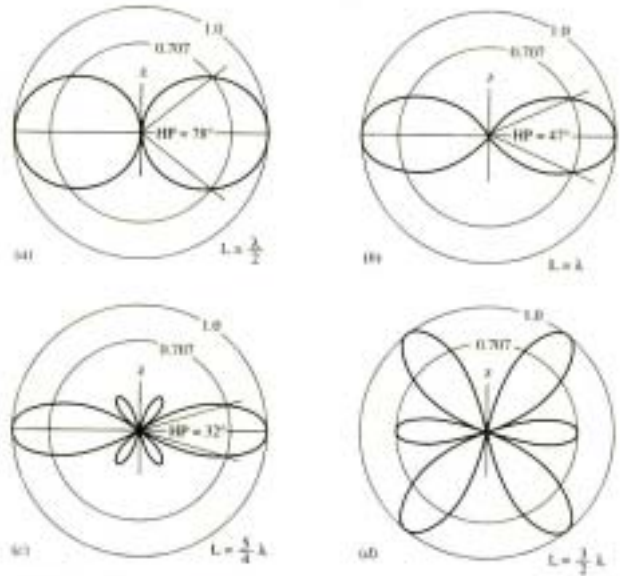


그림 5-4 길이 L 인 직선형 중앙급전 다이폴 안테나의 방사패턴

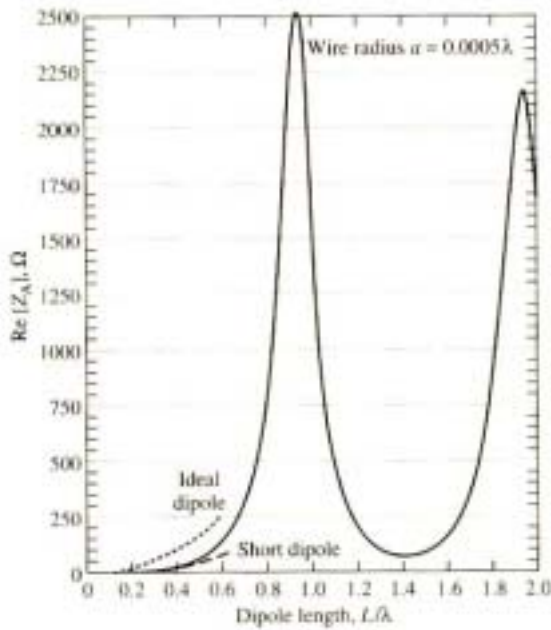


그림 5-5 길이 L 의 함수로서 나타낸 반지름 0.0005λ 의 중앙급전 도선 다이폴의 계산된 입력 저항(실선). 균일한 전류분포를 가지는 이상적인 다이폴의 입력저항 $R_{in} = 80\pi^2(L/\lambda)^2$ (점선). 삼각형 전류분포 근사법을 이용한 단형다이폴의 입력저항 $R_{in} = 20\pi^2(L/\lambda)^2$ (쇄선).



VSWR

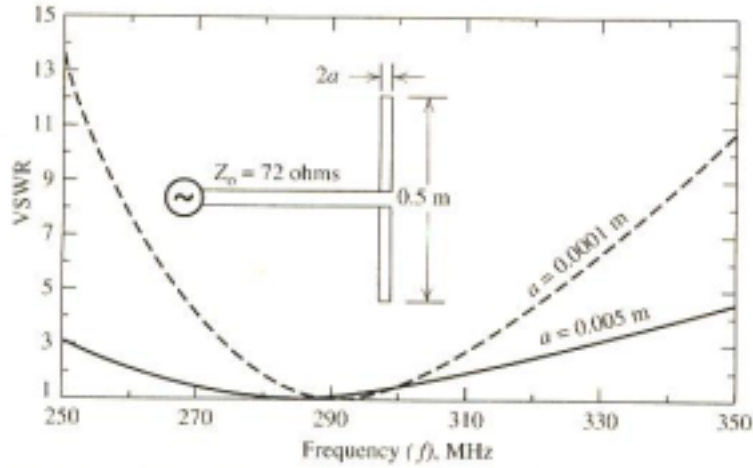


그림 5-7 도선 지름이 다른 다이폴에 대해 주파수 함수로 계산된 VSWR



가

✓ $a = 0.25w$

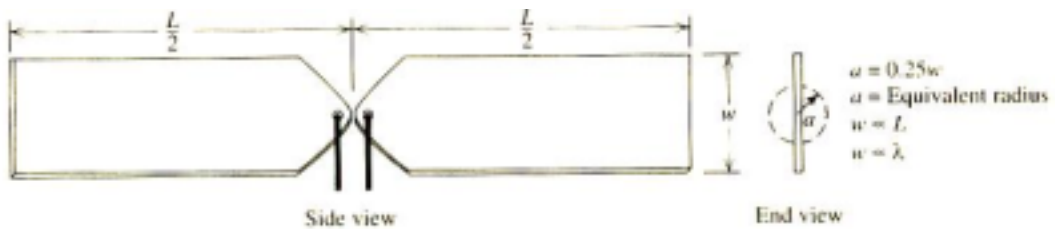


그림 5-8 평판 금속 스트립 다이폴

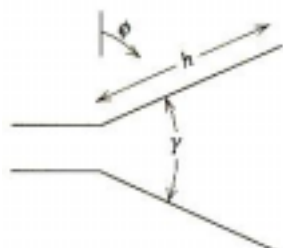
❖ V (vee dipole)

- h 가
- γ 가

$$\gamma = 152\left(\frac{h}{\lambda}\right)^2 - 388\left(\frac{h}{\lambda}\right) + 324, \quad 0.5 \leq \frac{h}{\lambda} < 1.5$$

$$\gamma = 11.5\left(\frac{h}{\lambda}\right)^2 - 70.5\left(\frac{h}{\lambda}\right) + 162, \quad 1.5 \leq \frac{h}{\lambda} < 3.0 \quad (5-23)$$

- γ (degree) , D



$$D = 2.95\left(\frac{h}{\lambda}\right) + 1.15 \quad (5-24)$$

그림 5-9 V자형 다이폴 안테나

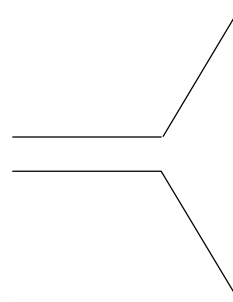
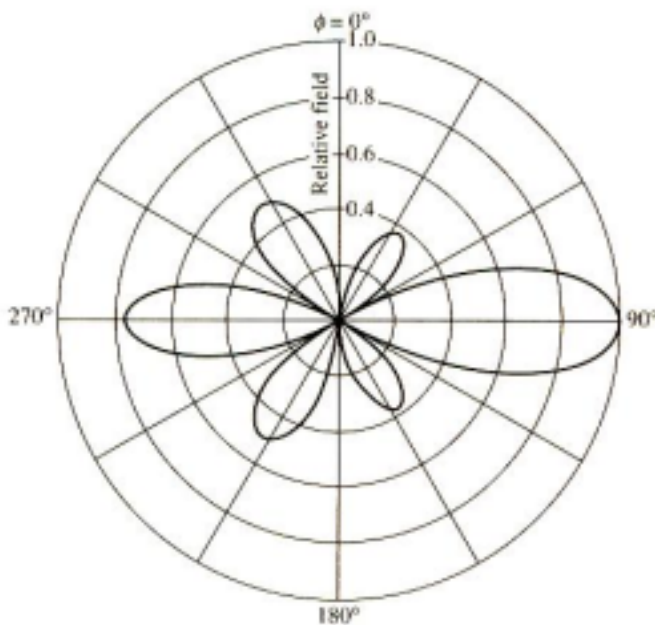


그림 5-10 $h=0.75\lambda$,
 $\gamma = 118.5^\circ$, $a=0.0005\lambda$ 인
그림 5-9의 V자형 다이폴의
원거리장 방사패턴



-
-
-
-
-

d

L

가

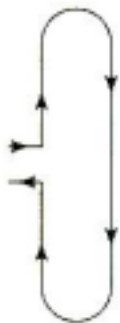


$$Z_i: Z_i = jZ_0 \tan \beta \frac{L}{2}$$

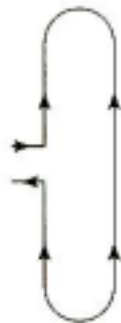
2



그림 5-11 폴디드 다이폴 안테나

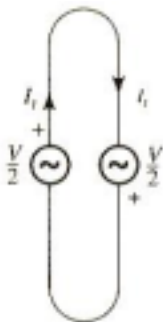


(a) 전송선로 모드

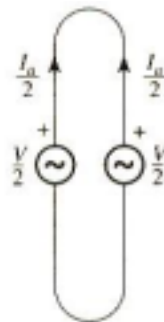


(b) 안테나 모드

그림 5-12 폴디드 다이폴 안테나의 전류 모드



(a) 전송선로 모드



(b) 안테나 모드

그림 5-13 폴디드 다이폴의 각 단에 인가된 전압 V 에 대한 모드 여기와 전류. 이 모드들의 중첩은 완전한 폴디드 다이폴 모델을 제공한다.

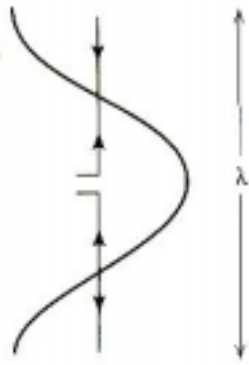
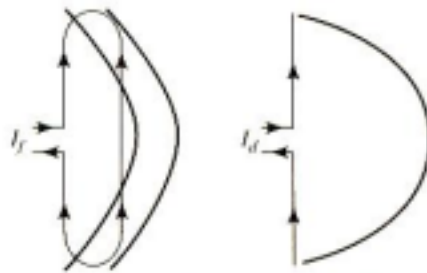


그림 5-14 전류교란 없이 펴진 반파장 폴디드 다이폴의 안테나 모드에 대한 전류



(a) 폴디드 다이폴

(b) 다이폴

그림 5-15 반파장 다이폴의 전류

5.3

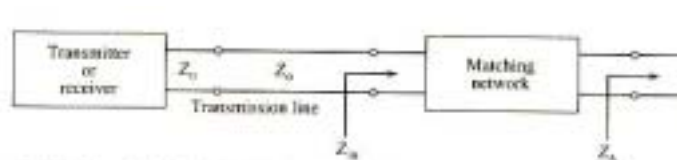


그림 5-18 일반적인 송신기와 수신기 구조



(VSWR)

✓ Ex) VSWR 2:1 → 89%



✓ : $\lambda/4$, (stap tuner)

✓ :

표 5-3 부정합된 안테나에 대한 VSWR과 전달전력

VSWR	Percent Reflected Power	Percent Transmitted Power
	$= \Gamma ^2 \times 100$ $= \left(\frac{\text{VSWR} - 1}{\text{VSWR} + 1} \right)^2 \times 100$	
1.0	0.0	100.0
1.1	0.2	99.8
1.2	0.8	99.2
1.5	4.0	96.0
2.0	11.1	88.9
3.0	25.0	75.0
4.0	36.0	64.0
5.0	44.4	55.6
5.83	50.0	50.0
10.0	66.9	33.1

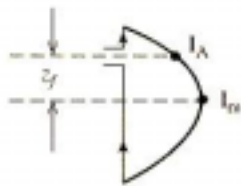


그림 5-19 위치가 변한 급전점을 가지는 반파장 다이폴

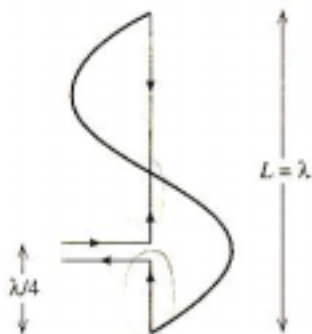
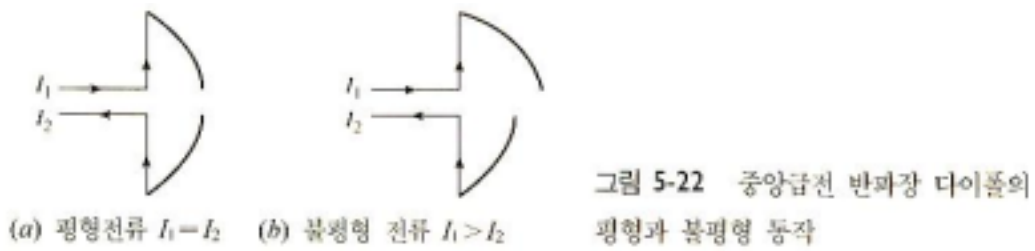
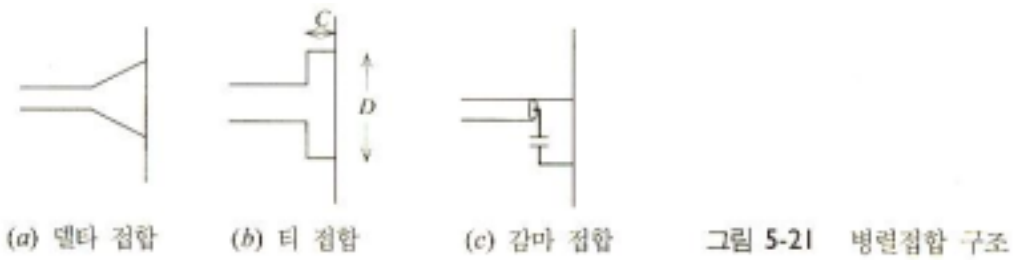


그림 5-20 급전이 중앙에서 벗어난 경우의 한 파장 다이폴의 전류분포



5.4 -

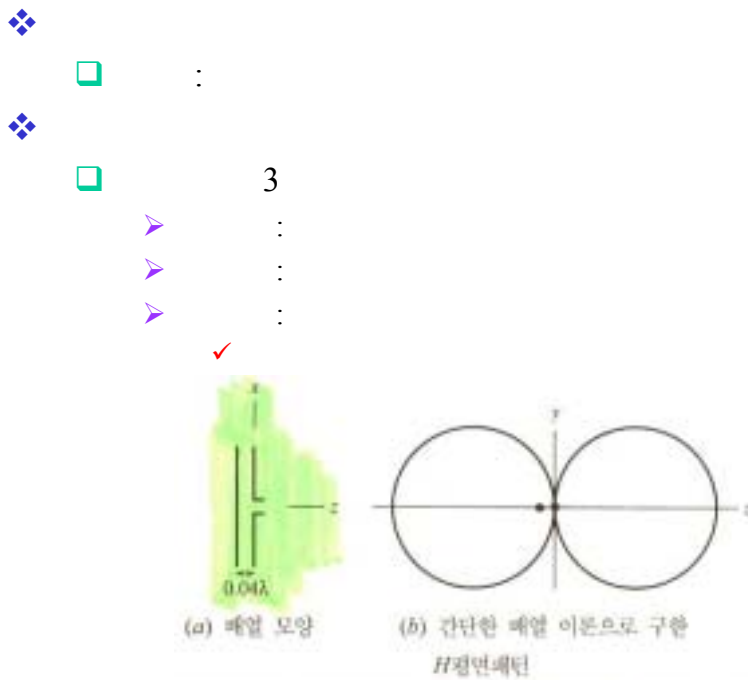


그림 5-30 반파장 공진 다이폴의 2소자 배열. 하나는 여진기이고 다른 하나는 기생소자이다. 양쪽의 전류는 크기가 같고 위상이 반대이다.

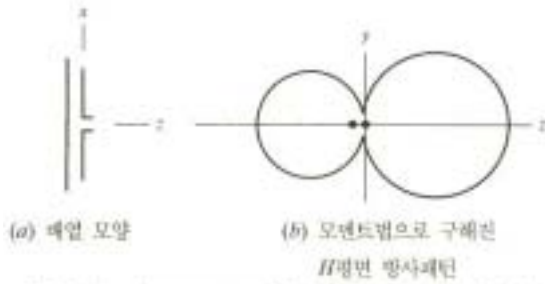


그림 5-31 서로 0.04λ 떨어진 길이 0.4781λ 여진기와 길이 0.49λ 반사기로 구성된 2소자 야기-우다 안테나. 도선의 반지름은 모두 0.001λ .

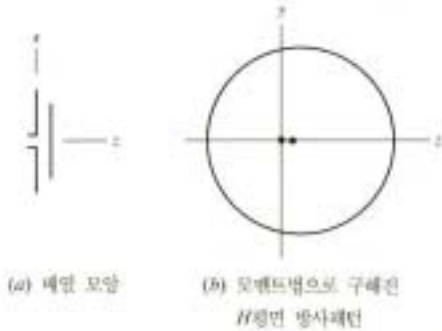


그림 5-32 서로 0.04λ 떨어진 길이 0.4781λ 여진기와 길이 0.45λ 반사기로 구성된 2소자 야기-우다 안테나. 도선의 반지름은 모두 0.001λ .



➤ 0.15λ 0.25λ

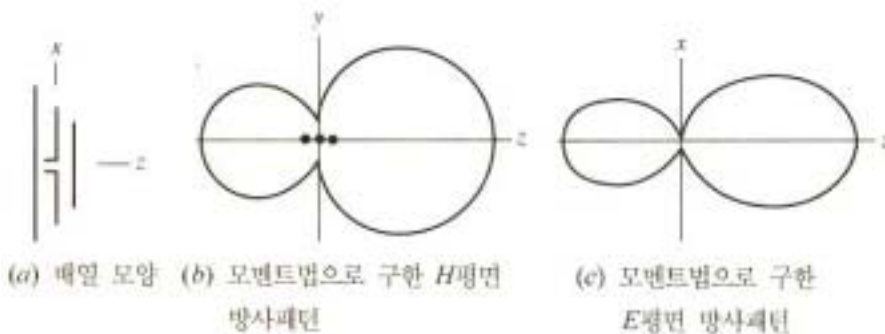


그림 5-33 서로 0.04λ 떨어진 길이 0.4781λ 여진기와 길이 0.49λ 반사기, 그리고 길이 0.45λ 도파기로 구성된 3소자 야기-우다 안테나. 도선 반지름은 0.001λ .

-
- 0.2λ 0.35λ
-
-
- 0.5λ
-
- 가

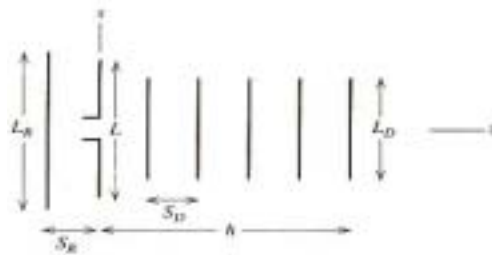


그림 5-34 일반적인 야기-우다 안테나 모양

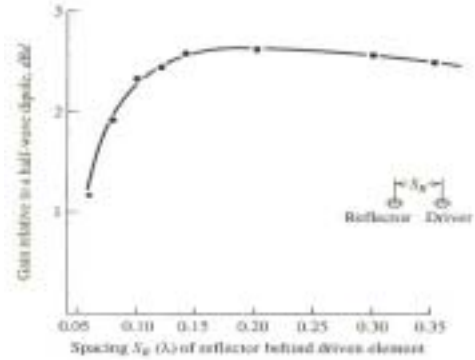


그림 5-35 간격 S_R 에 따른 기권 다이폴과 반사기의 측정된 [dBd] 이득 [21]

표 5-4 6개의 다른 중앙지점대 길이와 야기-우다 배열 안테나에 대한 기생다이폴의 최적 길이

	Boom length of Yagi-Uda Array, λ					
	0.4	0.8	1.20	2.2	3.2	4.2
$d/\lambda = 0.0085$ $S_R = 0.2\lambda$						
Length of reflector, L_R/λ	0.482	0.482	0.482	0.482	0.482	0.475
D_1	0.442	0.428	0.428	0.432	0.428	0.424
D_2		0.424	0.420	0.415	0.420	0.424
D_3		0.428	0.420	0.407	0.407	0.420
D_4			0.428	0.398	0.398	0.407
D_5				0.390	0.394	0.403
D_6				0.390	0.390	0.398
D_7				0.390	0.386	0.394
D_8				0.390	0.386	0.390
D_9				0.398	0.386	0.390
D_{10}				0.407	0.386	0.390
D_{11}					0.386	0.390
D_{12}					0.386	0.390
D_{13}					0.386	0.390
D_{14}					0.386	
D_{15}					0.386	
Spacing between directors (S_D/λ)	0.20	0.20	0.25	0.20	0.20	0.308
Gain relative to half-wave dipole, dBd	7.1	9.2	10.2	12.25	13.4	14.2
Design curve (Fig. 5-37)	(A)	(C)	(C)	(B)	(C)	(D)
Front-to-back ratio, dB	8	15	19	23	22	20

Source: P. P. Vezhicki, "Yagi Antenna Design," NBS Tech. Note 688, National Bureau of Standards, Washington, DC, Dec. 1968.

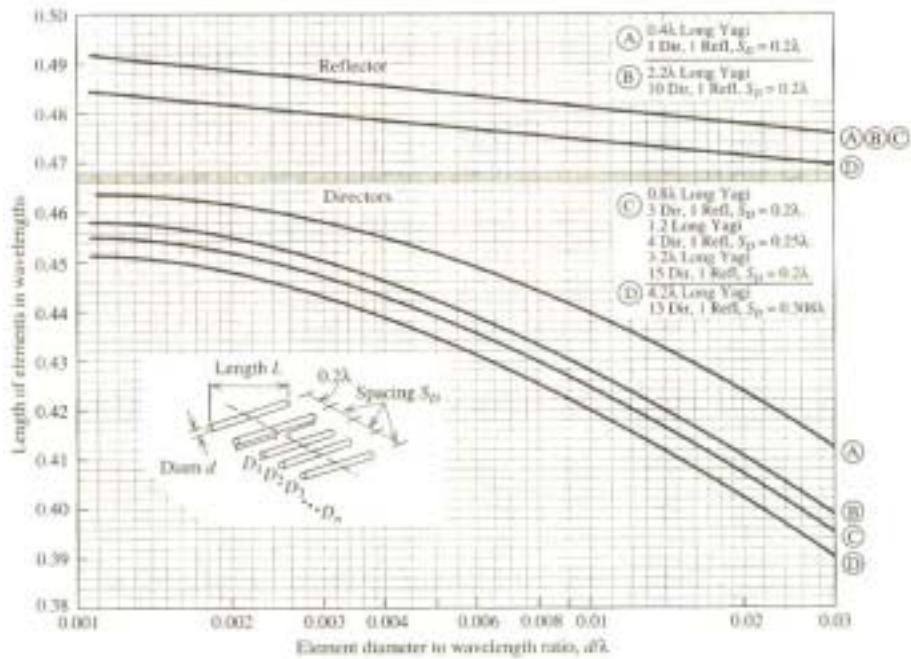


그림 5-37 표 5-4의 야기 안테나에 대한 실제 곡선 [21]

5.5

❖ 1938

❖

□ 10dB 12dB
□ 가 : 90°

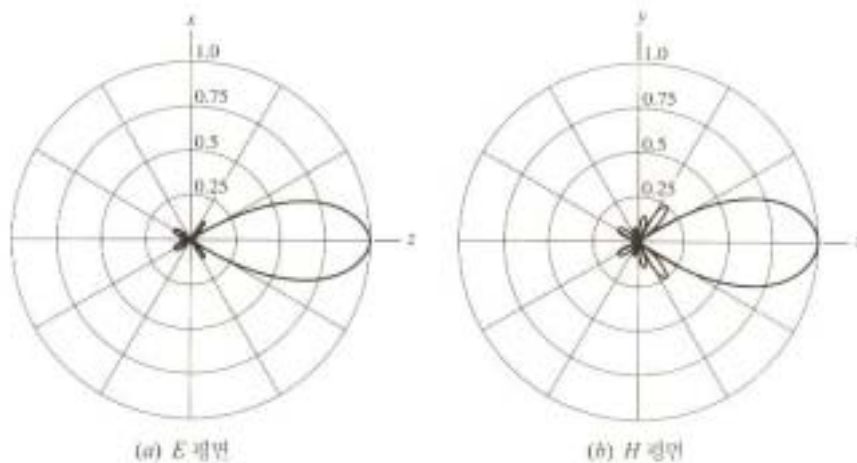


그림 5-41 예제 5-1의 계산된 방사패턴

- 가 , ,
- 90°
 - $-45^\circ \leq \phi \leq 45^\circ$:
 - $0.25\lambda \leq s \leq 0.7\lambda$:

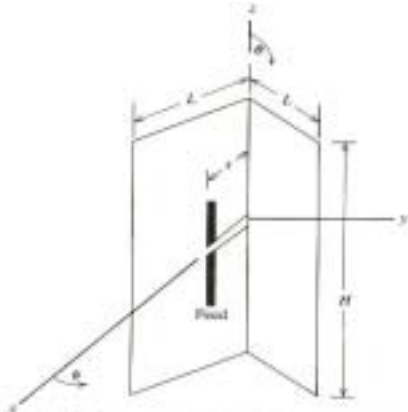


그림 5-42 $\phi = \pm 45^\circ$ 에서 급속권을 갖는 직각 코너 반사관

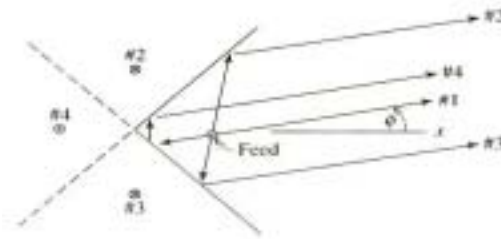


그림 5-43 영상법으로 표현된 직각 코너 반사관과 반사 방법에 대한 설명

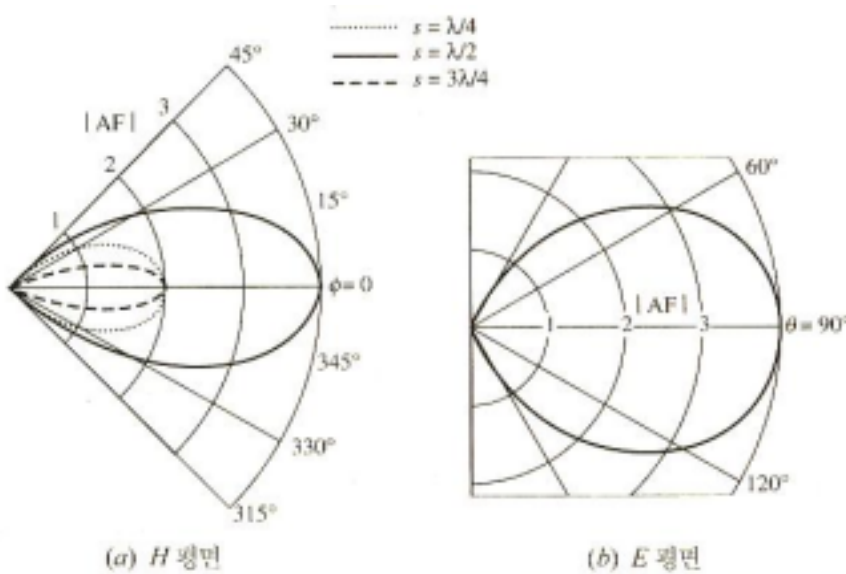


그림 5-44 2개의 반평면(한쪽으로만 무한대)과 $\lambda/2$ 다이폴 급전부로 이루어진 직각 코너 반사관에 대한 주평면 패턴 $|AF|$ (최상의 지향성 간격은 E평면에서만 사용됨).

- ❖ (VHF)
 -
- ❖ 2.3
 - ❖
 -
 -
 - ❖ 2.3.1
 -
 -

- ❖ 가
 - 가
 -
 - 가
 - ▶ 가
- ❖ 가
 -
 -
- ❖ 가
 - 10⁷S/m
 - 10⁻¹
 - (rich soil) 10⁻³ S/m 가
 - ▶ 가 가 $\sigma|E|^2$
 - ▶ 가
 - ▶ 가



가



가



가

2. 3. 1

가



가

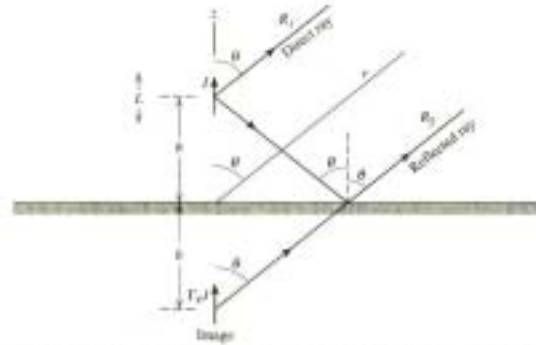


그림 5-45 실제 지면 위의 전류 I인 수직 단원다이폴과 전류 I인 영상



5-45

h



가

$$(1-93) \quad (1-78)$$

$$E_{\theta} = j\omega\mu \sin\theta \left(IL \frac{e^{-j\beta R_1}}{4\pi R_1} + \Gamma_V IL \frac{e^{-j\beta R_2}}{4\pi R_2} \right) \quad (5-50)$$



L

$\Gamma_V I$

$\Gamma_V E$

$$R_1 = r - h \cos\theta \quad R_2 = r + h \cos\theta \quad (5-51)$$



(5-50)

$$E_{\theta} = j\omega\mu \frac{IL}{4\pi} \frac{e^{-j\beta r}}{r} \sin\theta \left(e^{j\beta h \cos\theta} + \Gamma_V e^{-j\beta h \cos\theta} \right) \quad (5-52)$$



$$R_1 \approx R_2 \approx r$$

$$\sin \theta$$

가 2h

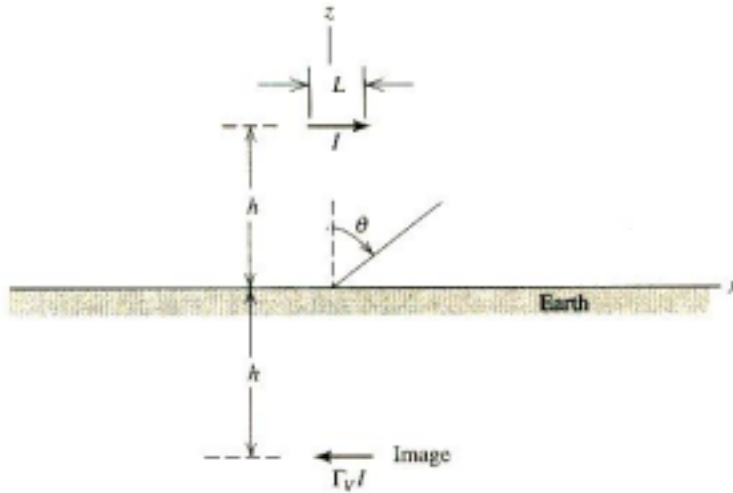


그림 5-46 xz 평면에서 실제 지면 위의 전류 I인 단형다이폴과 전류의 영상 $\Gamma_V I$, yz 평면의 영상전류는 $\Gamma_H I$ 이다.



5-46

xz

$$E_\theta = j\omega\mu \frac{IL}{4\pi} \frac{e^{-j\beta r}}{r} \sin \theta \left(e^{j\beta h \cos \theta} + \Gamma_V e^{-j\beta h \cos \theta} \right) \quad (5-53)$$



가

, E가

Γ_V 가

xz

yz

$$E_\phi = j\omega\mu \frac{IL}{4\pi} \frac{e^{-j\beta r}}{r} \left(e^{j\beta h \cos \theta} + \Gamma_H e^{-j\beta h \cos \theta} \right) \quad (5-54)$$



1

Γ_H 가

가

$$\Gamma_H = \frac{\cos \theta - \sqrt{\epsilon'_r - \sin^2 \theta}}{\cos \theta + \sqrt{\epsilon'_r - \sin^2 \theta}} \quad (5-55)$$



가 (,)

□ Γ_V

$$\Gamma_V = \frac{\epsilon' \cos \theta - \sqrt{\epsilon_r' - \sin^2 \theta}}{\epsilon' \cos \theta + \sqrt{\epsilon_r' - \sin^2 \theta}} \quad (5-56)$$

✓

✓ ϵ_r'

(1.4)

$$\epsilon_r' = \frac{\epsilon'}{\epsilon_0} = \epsilon_r - j \frac{\sigma}{\omega \epsilon_0} \quad (5-57)$$

□ ϵ_r σ

가

10^{-3} 3310^{-2} S/m

□ ϵ_r'

$$\frac{\sigma}{\omega \epsilon_0} = 18 \times 10^3 \frac{\sigma}{f_{MHz}} \quad (5-58)$$

□ 5-47

$\sigma = 12310^{-3}$

가

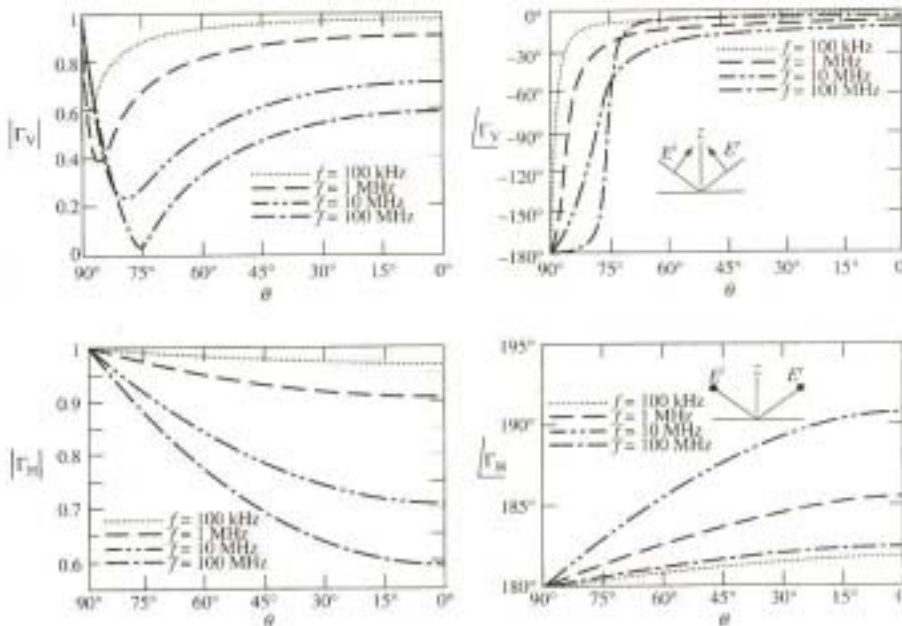


그림 5-47 네 가지 주파수에서 Γ_V 와 Γ_H 의 크기와 위상. 수평면은 $\theta = 90^\circ$ 임.
 $\sigma = 12 \times 10^{-3}$, $\epsilon_r = 15$.

- - 가 -1 가 $\Gamma_V = 90^\circ$ ($\theta \sim 90^\circ$) Γ_H
 - (pseudo-Brewster angle)
 - 가 Γ_V
 - (5-56) (5-57) $?\Gamma_V \rightarrow 1$ $\sigma \rightarrow :$ $\zeta \rightarrow 0$
 -

□

- HF VHF
 - ✓ θ 가 90° (grazing angle) $\Gamma_V \approx -1$, $\theta = 90^\circ$
 - ✓ (5-52)
 - ✓ AM
 - ✓

- 0.2λ
- 5-48
- $\sin \theta$ ($\sigma = :$)
- 가
- 가
- 5.6.2 가
- $\lambda/4$ $\lambda/2$
- ✓ $\epsilon'_r = \infty$ (5-56) $\Gamma_V + 1$
- ✓ $\lambda/2$
- ✓

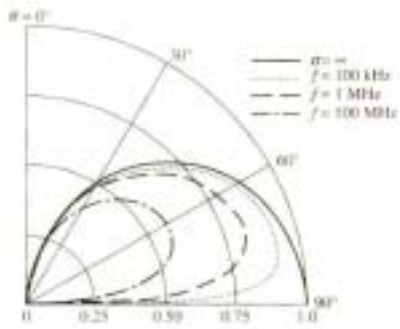
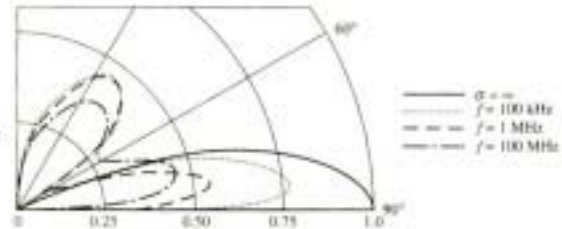
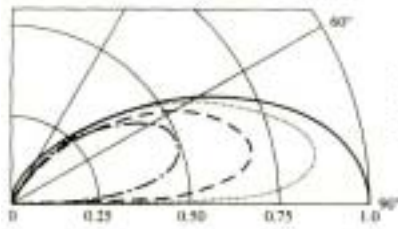


그림 5-48 세 가지 주파수에서 완전 집지면 ($\sigma = \infty$)의 경우와 비교한 평탄한 지면 ($\epsilon_r = 15$, $\sigma = 1.2 \times 10^{-2}$)에서의 수직 단형다이폴의 양각면 패턴



(a) 지면에서 $\lambda/4$ 떨어진 단형다이폴, $2h = \lambda/2$.

(b) 지면에서 $\lambda/2$ 떨어진 단형다이폴, $2h = \lambda$.

그림 5-49 완전 집지면 ($\sigma = \infty$)의 경우와 비교한 세 주파수에서 수직 단형다이폴의 고도각 면 패턴

- 3-17 5-49a ($\sigma = \infty$)
- ▶ θ 가 90° $\Gamma_V \approx -1$
- ▶ 5-49a h 가 $\lambda/2$ 가 , 5-45 가 λ
- ▶ $h = \lambda/4$
- ▶ $h = \lambda/2$ 5-49b
- 5-46 Z
- ▶ Γ_H yz (5-54)
- ▶ $\Gamma_H = -1$, $\theta = 90^\circ$ $\Gamma_H = -1$
- ▶ Γ_H (yz) 가
- ▶ (5-52) (5-54)
- ▶ (5-52) $\cos \theta$



가



가



2. 3. 2)

(



가

가



(radial ground system)



▶ 8 AWG



✓ 가



□ (1-173)



❖ AM

- 가 $\lambda/4$
- 3° 120
-
- 3MHz $\lambda/4(25m)$ 120 1Ω
- 3MHz
 - $\lambda/4$ 가

- ❖
 - 가
 -
 -
 - 가 가
 -
- ❖ (VHF)
 - (,)
 - , 가 가
 - 가 가
 -) 가
 - ✓ 가
 - ✓ 가

❖ 2.4



가 ,



가 ,



가

❖

가



가 ,

가

❖

가 ,

❖

가



[30]

[31]

[32]

❖



가

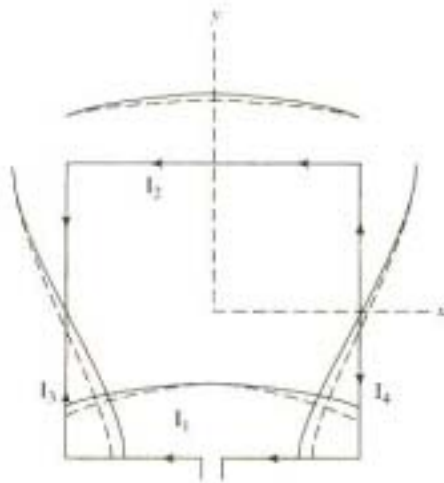


그림 5-51 한파장 정사각형 루프 안테나. 각 변의 길이는 $\lambda/4$ 이다. 실선은 식 (5-59)의 정현파 전류분포를 가진다. 채선은 정확한 모멘트법으로 얻어진 전류 크기이다.

□ 5-51 1/4

▶ 가 가
▶ 5-51() . X

$$\mathbf{I}_1 = \mathbf{I}_2 = -\hat{x}I_0 \cos(\beta x'), \quad |x'| \leq \frac{\lambda}{8} \quad (5-59)$$

$$\mathbf{I}_4 = -\mathbf{I}_3 = \hat{y}I_0 \sin(\beta y'), \quad |y'| \leq \frac{\lambda}{8}$$

▶ (1-101)

$$\mathbf{A} = \mu \frac{e^{-j\beta r}}{4\pi r} \int_{\text{loop}} \mathbf{I} e^{j\beta \mathbf{r} \cdot \mathbf{r}'} dl \quad (5-60)$$



$$\mathbf{r}'_1 = x'\hat{\mathbf{x}} - \frac{\lambda}{8}\hat{\mathbf{y}} \quad \mathbf{r}'_2 = x'\hat{\mathbf{x}} + \frac{\lambda}{8}\hat{\mathbf{y}} \quad (5-61)$$

$$\mathbf{r}'_3 = -\frac{\lambda}{8}\hat{\mathbf{x}} + y'\hat{\mathbf{y}} \quad \mathbf{r}'_4 = \frac{\lambda}{8}\hat{\mathbf{x}} + y'\hat{\mathbf{y}}$$



(5-61)

(5-60)

(C-4)

 $\hat{\mathbf{r}}$

$$\begin{aligned} \mathbf{A} &= \mu \frac{e^{-j\beta r}}{4\pi r} I_o \left[-\hat{\mathbf{x}} \int_{-\lambda/8}^{\lambda/8} \cos(\beta x') e^{j\beta x' \sin \theta \cos \phi} (e^{-j(\pi/4) \sin \theta \sin \phi} + e^{j(\pi/4) \sin \theta \sin \phi}) dx' \right. \\ &\quad \left. + \hat{\mathbf{y}} \int_{-\lambda/8}^{\lambda/8} \sin(\beta y') e^{j\beta y' \sin \theta \sin \phi} (-e^{-j(\pi/4) \sin \theta \cos \phi} + e^{j(\pi/4) \sin \theta \cos \phi}) dy' \right] \\ &= \mu \frac{e^{-j\beta r}}{4\pi r} I_o \left[-\hat{\mathbf{x}} 2 \cos\left(\frac{\pi}{4} \sin \theta \sin \phi\right) \int_{-\lambda/8}^{\lambda/8} \cos(\beta x') e^{j\beta x' \sin \theta \cos \phi} dx' \right. \\ &\quad \left. + \hat{\mathbf{y}} 2j \sin\left(\frac{\pi}{4} \sin \theta \cos \phi\right) \int_{-\lambda/8}^{\lambda/8} \sin(\beta y') e^{j\beta y' \sin \theta \sin \phi} dy' \right] \quad (5-62) \end{aligned}$$



1, 2 3, 4

$$\begin{aligned} \mathbf{A} &= \mu \frac{e^{-j\beta r}}{4\pi r} \frac{2\sqrt{2}I_o}{\beta} \left\{ \hat{\mathbf{x}} \frac{\cos[(\pi/4) \cos \Omega]}{\sin^2 \gamma} \left[\cos \gamma \sin\left(\frac{\pi}{4} \cos \gamma\right) - \cos\left(\frac{\pi}{4} \cos \gamma\right) \right] \right. \\ &\quad \left. - \hat{\mathbf{y}} \frac{\sin[(\pi/4) \cos \gamma]}{\sin^2 \Omega} \left[\cos \Omega \cos\left(\frac{\pi}{4} \cos \Omega\right) - \sin\left(\frac{\pi}{4} \cos \Omega\right) \right] \right\} \quad (5-63) \end{aligned}$$

$$\cos \gamma = \sin \theta \cos \phi \quad \cos \Omega = \sin \theta \sin \phi \quad (5-64)$$



$$\begin{aligned} E_\theta &= -j\omega A_\theta = -j\omega \mathbf{A} \cdot \hat{\boldsymbol{\theta}} = -j\omega (A_x \hat{\mathbf{x}} \cdot \hat{\boldsymbol{\theta}} + A_y \hat{\mathbf{y}} \cdot \hat{\boldsymbol{\theta}}) \\ &= -j\omega (A_x \cos \theta \cos \phi + A_y \cos \theta \sin \phi) \quad (5-65a) \end{aligned}$$

$$E_\phi = -j\omega \mathbf{A} \cdot \hat{\boldsymbol{\phi}} = -j\omega (-A_x \sin \phi + A_y \cos \phi) \quad (5-65b)$$

➤ (5-63) $A_x \quad A_y$

$$E_\theta = \frac{jI_0 \eta e^{-j\beta r}}{\sqrt{2\pi r}} \cos \theta \left\{ \frac{\sin \phi \sin[(\pi/4) \sin \theta \cos \phi]}{1 - \sin^2 \theta \sin^2 \phi} \cdot \left[\sin \theta \sin \phi \cos\left(\frac{\pi}{4} \sin \theta \sin \phi\right) - \sin\left(\frac{\pi}{4} \sin \theta \sin \phi\right) \right] - \frac{\cos \phi \cos[(\pi/4) \sin \theta \sin \phi]}{1 - \sin^2 \theta \cos^2 \phi} \cdot \left[\sin \theta \cos \phi \sin\left(\frac{\pi}{4} \sin \theta \cos \phi\right) - \cos\left(\frac{\pi}{4} \sin \theta \cos \phi\right) \right] \right\} \quad (5-66a)$$

$$E_\phi = \frac{jI_0 \eta e^{-j\beta r}}{\sqrt{2\pi r}} \left\{ \frac{\cos \phi \sin[(\pi/4) \sin \theta \cos \phi]}{1 - \sin^2 \theta \sin^2 \phi} \cdot \left[\sin \theta \sin \phi \cos\left(\frac{\pi}{4} \sin \theta \sin \phi\right) - \sin\left(\frac{\pi}{4} \sin \theta \sin \phi\right) \right] + \frac{\sin \phi \cos[(\pi/4) \sin \theta \sin \phi]}{1 - \sin^2 \theta \cos^2 \phi} \cdot \left[\sin \theta \cos \phi \sin\left(\frac{\pi}{4} \sin \theta \cos \phi\right) - \cos\left(\frac{\pi}{4} \sin \theta \cos \phi\right) \right] \right\} \quad (5-66b)$$

➤ 1.7

➤ $\theta = 90^\circ$, (5-66) E_θ (E) xy

$$E_\theta\left(\theta = \frac{\pi}{2}\right) = 0 \quad (5-67a)$$

$$E_\phi\left(\theta = \frac{\pi}{2}\right) = \frac{jI_0 \eta e^{-j\beta r}}{\sqrt{2\pi r}} \frac{\pi}{4} \left\{ \frac{\sin[(\pi/4) \cos \phi]}{(\pi/4) \cos \phi} \left[\sin \phi \cos\left(\frac{\pi}{4} \sin \phi\right) - \sin\left(\frac{\pi}{4} \sin \phi\right) \right] + \frac{\cos[(\pi/4) \sin \phi]}{(\pi/4) \sin \phi} \left[\cos \phi \sin\left(\frac{\pi}{4} \cos \phi\right) - \cos\left(\frac{\pi}{4} \cos \phi\right) \right] \right\} \quad (5-67b)$$

➤ y (5-67b)

$$E_\phi\left(\theta = \frac{\pi}{2}, \phi = \frac{\pi}{2}\right) = -\frac{jI_0 \eta e^{-j\beta r}}{\sqrt{2\pi r}} \frac{1}{\sqrt{2}} \quad (5-68)$$

➤ E xz (5-66)

$$E_\phi(\phi = 0) = 0 \quad (5-69a)$$

$$E_\theta(\phi = 0) = \frac{jI_0 \eta e^{-j\beta r}}{\sqrt{2\pi r}} \frac{\sin \theta \sin[(\pi/4) \sin \theta] - \cos[(\pi/4) \sin \theta]}{\cos \theta} \quad (5-69b)$$

➤ H yz (5-66)

$$E_{\theta}\left(\phi = \frac{\pi}{2}\right) = 0 \quad (5-70a)$$

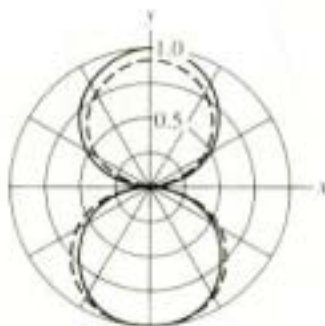
$$E_{\phi}\left(\phi = \frac{\pi}{2}\right) = -\frac{jI_0\eta e^{-j\beta r}}{\sqrt{2\pi r}} \cos\left(\frac{\pi}{4} \sin \theta\right) \quad (5-70b)$$

➤ 5-52c() E_φ cos[(π/4)sin θ] 1, 2 (θ=0°)

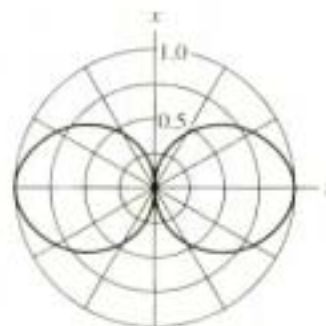
(5-69) (5-70)

$$E_x = -\frac{jI_0\eta e^{-j\beta r}}{\sqrt{2\pi r}} \quad (5-71)$$

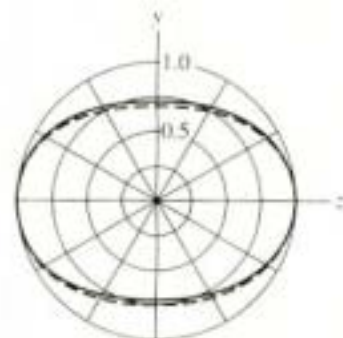
➤ (5-68) y Ex √2



(a) E_{θ} 의 xy 평면(무프 평면과 E 평면) 정규화 패턴. 이 평면에서 $HP=94^\circ$



(b) E_{θ} 의 xz 평면(E 평면) 정규화 패턴. 이 평면에서 $HP=85^\circ$. 이 평면에서 두 방식으로 구해진 패턴은 동일



(c) E_{θ} 의 yz 평면(무프 평면과 E 평면) 패턴

그림 5-52 한파장 정사각형 무프 안테나의 주평면 패턴. 실선은 그림 5-51의 정현과 전류분포에 의한 패턴이고, 점선은 정확한 수치해석법으로 얻어진 전류분포에서 구한 패턴이다.

□



z

가

가

(x)
가

(y)

()

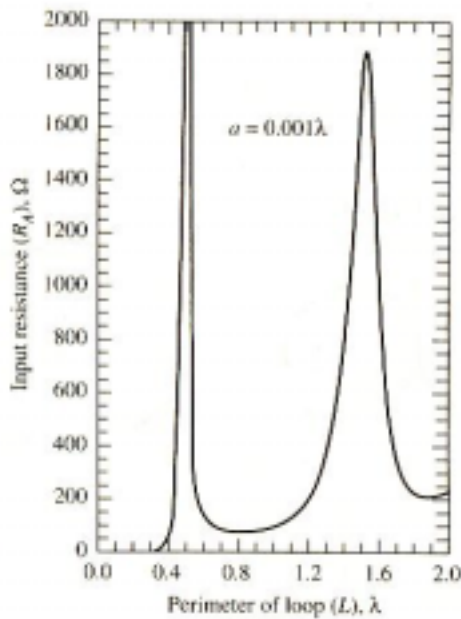
□

3.09dB , 3.82dB

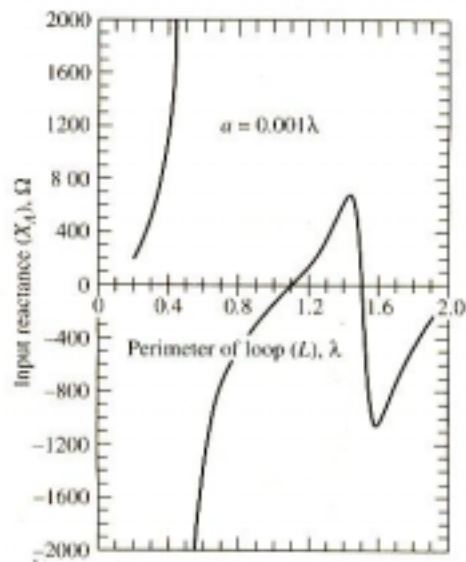
□

5-4

5-52



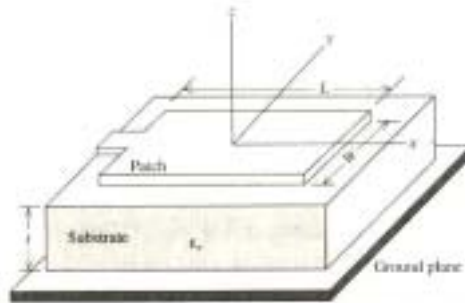
(a) 입력저항



(b) 입력 리액턴스

그림 5-53 파장 단위의 루프 둘레 함수로 나타낸 정사각형 루프 안테나의 입력 임피던스 루프의 한 변 중심으로 급전을 하고 도선 반지름 $a=0.001$ 이다(모멘트법 사용).

- ❖ Microstrip radiator idea가 1950
- ❖ 1970 가
- ❖ 가
- ❖ 가

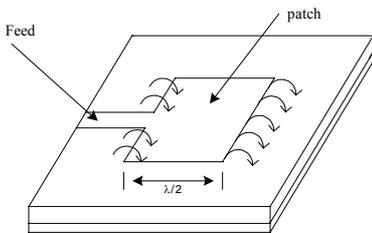


4a) 가장자리 급진 마이크로스트립 패치 안테나를 분석하기 위한 구조

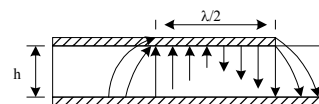
- - 100MHz ~ 50GHz
 - 가 , 가 ,
 - 가가
 - ,
 - ,
 - feed line matching network 가
 - (amp., phase shifter, oscillator etc.) 가
 - Linear, circular polarization feed point 가



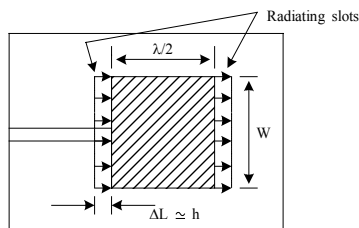
- (1~5%, 10%)
-
- Surface wave 가
- (feed line)
- Feed line radiator isolation
- Array , sidelobe



(a) Rectangular microstrip patch antenna



(b) Side view



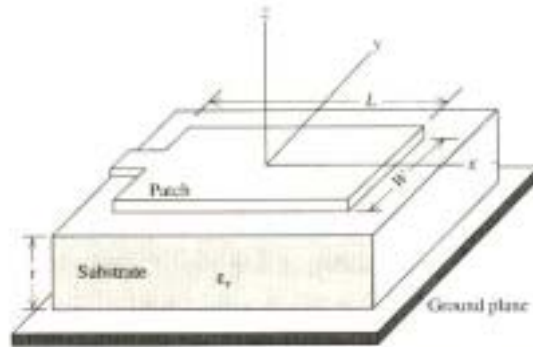
(c) Top view

2.3 Rectangular microstrip patch antenna filed pattern



$$L \approx 0.49\lambda_d = 0.49 \frac{\lambda}{\sqrt{\epsilon_r}}$$

- λ :
- λ_d :
- ϵ_r :



(a) 가장자리 급전 마이크로스트립 패치 안테나를 분석하기 위한 구조



$$E_\theta = E_o \cos \phi f(\theta, \phi) \quad (5-73a)$$

$$E_\phi = -E_o \cos \theta \sin \phi f(\theta, \phi) \quad (5-73b)$$

여기서

$$f(\theta, \phi) = \frac{\sin \left[\frac{\beta W}{2} \sin \theta \sin \phi \right]}{\frac{\beta W}{2} \sin \theta \sin \phi} \cos \left(\frac{\beta L}{2} \sin \theta \cos \phi \right) \quad (5-73c)$$



$$F_E(\theta) = \cos \left(\frac{\beta L}{2} \sin \theta \right) \quad E \text{ 평면, } \phi = 0^\circ \quad (5-74a)$$

$$F_H(\theta) = \cos \theta \frac{\sin \left[\frac{\beta W}{2} \sin \theta \right]}{\frac{\beta W}{2} \sin \theta} \quad H \text{ 평면, } \phi = 90^\circ \quad (5-74b)$$

□ 가

$$Z_A = 90 \frac{\epsilon_r^2}{\epsilon_r - 1} \left(\frac{L}{W} \right)^2 \Omega \quad \text{반파장 패치} \quad (5-75)$$

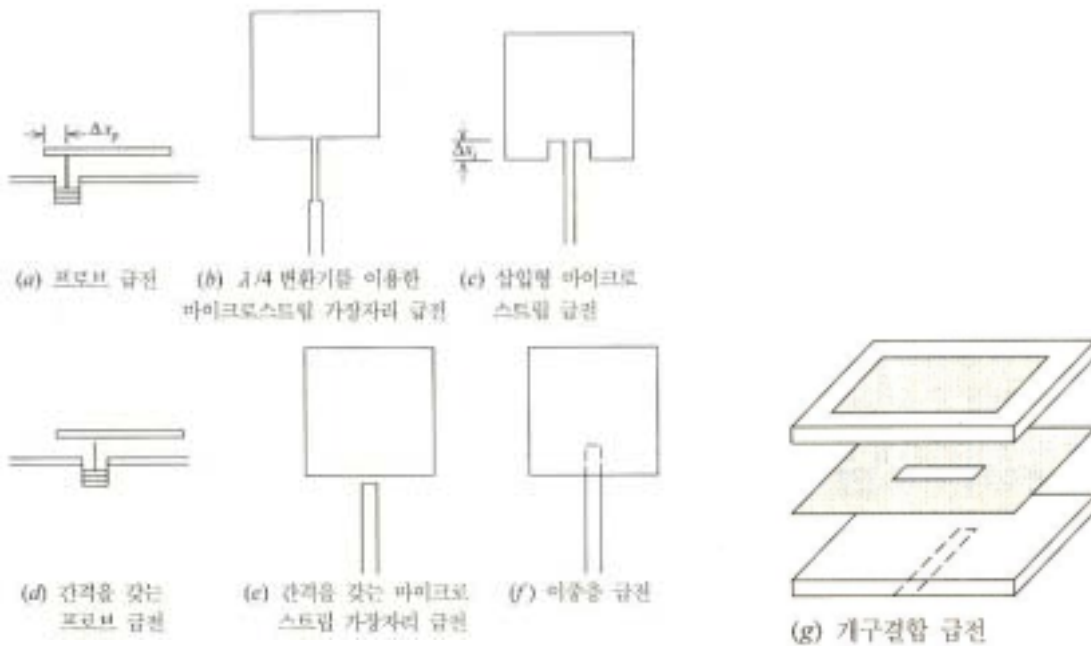


그림 5-55 마이크로스트립 패치 안테나의 급전 방법

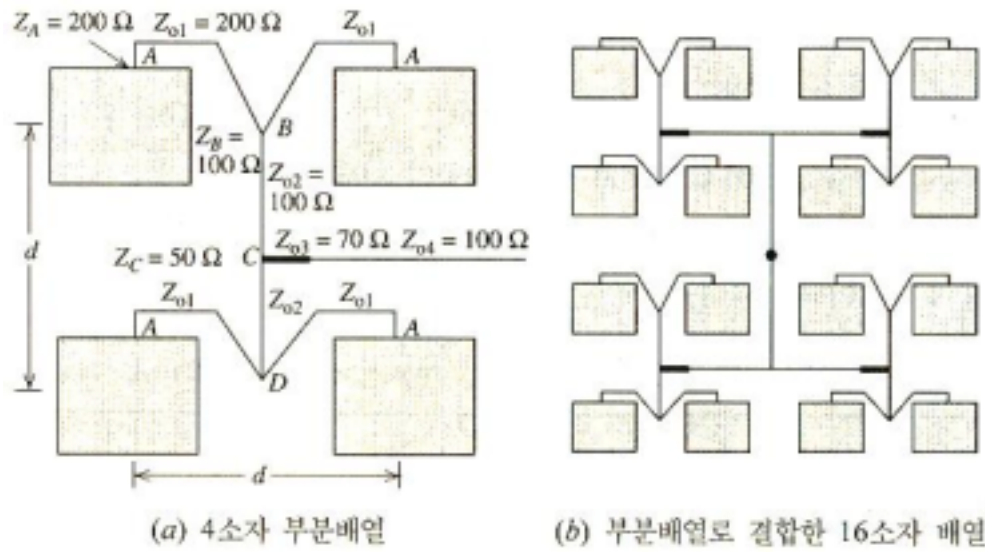


그림 5-57 균일 진폭과 위상을 여기하는 급전회로망을 갖는 평면 마이크로스트립 배열